



**Министерство науки и высшего образования Российской Федерации
Федеральное государственное бюджетное образовательное учреждение
высшего образования
«Московский государственный технический университет
имени Н.Э. Баумана
(национальный исследовательский университет)»
(МГТУ им. Н.Э. Баумана)**

ФАКУЛЬТЕТ

РОБОТОТЕХНИКА И КОМПЛЕКСНАЯ АВТОМАТИЗАЦИЯ (РК)

КАФЕДРА

РК6 «СИСТЕМЫ АВТОМАТИЗИРОВАННОГО ПРОЕКТИРОВАНИЯ»

Отчет по лабораторной работе

**Исследование эффективности динамической балансировки
загрузки МВС с использованием имитационного моделирования**

Студент

**Абидоков Р. Ш.
РК6-21М**

Преподаватель

Карпенко А. П.

2022 г.

Постановка задачи исследования эффективности балансировки загрузки МВС

Пусть X – n -мерный вектор параметров задачи. Положим, что $X \in R^n$, где R^n – n -мерное арифметическое пространство. Параллелепипедом допустимых значений вектора параметров назовем не пустой параллелепипед $\Pi = \{X \mid x_i^- \leq x_i \leq x_i^+, i \in [1, n]\}$, где x_i^-, x_i^+ – заданные константы. На вектор X дополнительно наложено некоторое количество функциональных ограничений, формирующих множество $D = \{X \mid g_i(X) \geq 0, j = 1, 2, \dots\}$, где $g_i(X)$ – непрерывные ограничивающие функции.

На множестве $D_x = \Pi \cap D$ тем или иным способом (аналитически или алгоритмически) определена вектор-функция $F(X)$ со значениями в пространстве R^m . Ставится задача поиска значения некоторого функционала $\Phi(F(X))$.

Положим, что приближенное решение поставленной задачи может быть найдено по следующей схеме:

Шаг 1. Покрываем параллелепипед Π некоторой сеткой Ω (равномерной или неравномерной, детерминированной или случайной) с узлами $X_1, X_2 \dots X_Z$.

Шаг 2. В тех узлах сетки Ω , которые принадлежат множеству D_x , вычисляем значения вектор функции $F(X)$.

Шаг 3. На основе вычисленных значений вектор функции $F(X)$ находим приближенное значение функционала $\Phi(F(X))$.

Суммарное количество арифметических операций, необходимых для *однократного* определения принадлежности вектора X множеству D_x (т.е. суммарную вычислительную сложность ограничений $x_i^- \leq x_i \leq x_i^+$ и ограничивающих функций $g_i(X)$), обозначим $C_g \geq 0$. Далее в эксперименте будем полагать $C_g = 0$.

Неизвестную вычислительную сложность вектор-функции $F(X)$ обозначим $C_f(X)$. Подчеркнем зависимость величины C_f от вектора X . Величина $C_f(X)$ удовлетворяет, во-первых, очевидному ограничению $C_f(X) \geq 0$. Во-вторых, положим, что известно ограничение сверху на эту величину C_f^{max} , имеющее смысл ограничения на максимально допустимое время вычисления значения $F(X)$. Вычислительную сложность $C_f(X_i)$ назовем вычислительной сложностью узла $X_i, i \in [1, Z]$.

Вычислительную сложность генерации сетки Ω положим равной ZC_Ω , а вычислительную сложность конечномерной аппроксимации функционала $\Phi(F(X))$ – равной ζC_Ω , где ζ (дзета) – общее количество узлов сетки Ω , принадлежащих множеству D_x .

Далее в эксперименте также будем полагать $C_\Omega = 0, C_\Phi = 0$.

В качестве вычислительной системы рассмотрим однородную МВС с распределенной памятью, состоящую из процессоров $P_1, P_2 \dots P_N$ и *host*-процессора, имеющих следующие параметры:

- t – время выполнения одной арифметической операции с плавающей запятой;
- $d = d(N)$ – диаметр коммуникационной сети;
- l – длина вещественного числа в байтах;
- t_s – латентность коммуникационной сети;
- t_c – время передачи байта данных между двумя соседними процессорами системы без учета времени t_s .

В качестве меры эффективности параллельных вычислений используем ускорение

$$S_i(N) = \frac{T(1)}{T_i(N)}, \quad (1)$$

где $T(1)$ – время последовательного решения задачи на одном процессоре системы, $T_i(N)$ – время параллельного решения той же задачи на N процессорах, $i = 1, 2$ – номер метода балансировки.

Динамическая балансировка загрузки

Положим, что из числа Z узлов расчетной сетки Ω множеству D_x принадлежит ζ узлов $\tilde{X}_1, \tilde{X}_2 \dots \tilde{X}_\zeta$. Разобьем эти узлы на $K, K \geq N$ непересекающихся подмножеств $\bar{\omega}_i, i \in [1:K]$ и для простоты примем, что величины ζ, K кратны, так что каждое подмножество $\bar{\omega}_i$ содержит $z = \frac{\zeta}{K}$ узлов. Совокупность подмножеств $\bar{\omega}_i$ обозначим $\{\bar{\omega}\}$. Правило построения совокупности $\{\bar{\omega}\}$ приведено на Рис. 1.

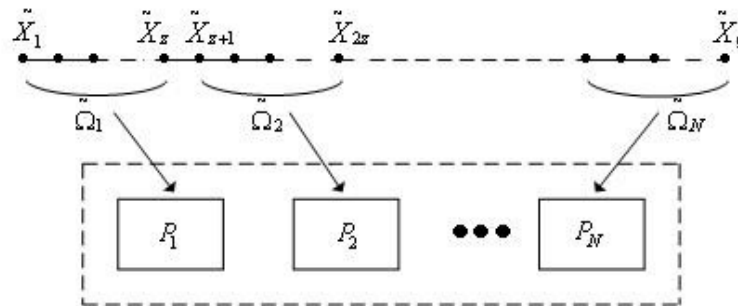


Рис. 1. Схема построения совокупности подмножеств $\{\bar{\omega}\}$

Схема параллельного решения поставленной задачи с использованием динамической равномерной балансировки загрузки имеет следующий вид:

Шаг 1. Host-процессор выполняет следующие действия:

- строит сетку Ω ;
- среди всех узлов $X_1, X_2 \dots X_Z$ сетки Ω выделяет узлы $\tilde{X}_1, \tilde{X}_2 \dots \tilde{X}_Z$;
- разбиваем узлы $\tilde{X}_1, \tilde{X}_2 \dots \tilde{X}_Z$ на K подмножеств $\bar{\omega}_i, i \in [1:K]$;
- посылает процессору $P_i, i \in [1:N]$ координаты узлов первого из нераспределенных подмножеств $\bar{\omega}_i$.

Шаг 2. Процессор P_i выполняет следующие действия:

- принимает от host-процессора координаты узлов подмножества $\bar{\omega}_i$;
- вычисляет во всех узлах подмножества $\bar{\omega}_i$ значения вектор-функции $F(x)$;
- посылает host-процессору вычисленные значения $F(x)$;

Шаг 3. Если исчерпана не вся совокупность подмножеств $\{\bar{\omega}\}$, то host-процессор посылает, а процессор P_i принимает координаты следующего подмножества из указанной совокупности узлов, которое обрабатывается процессором P_i аналогично шагу 2 и т.д.

Шаг 5. Если исчерпаны все подмножества совокупности $\{\bar{\omega}\}$, то host-процессор:

- посылает освободившемуся процессору P_i сообщение об окончании решения задачи;
- после получения всех вычисленных значений функции $F(x)$ от всех процессоров вычисляет приближенное значение функционала $\Phi(F(x))$;

Экспериментальная часть

Рассмотрим двумерную задачу ($n = 2$). Параллелепипед Π в этом случае представляет собой прямоугольник $\Pi = \{X | x_i^- \leq x_i \leq x_i^+, i \in [1,2]\}$. Положим, что $x_1^- = x_2^- = 0, x_1^+ = x_2^+ = 1$, так что область Π является квадратом (Рис. 2).

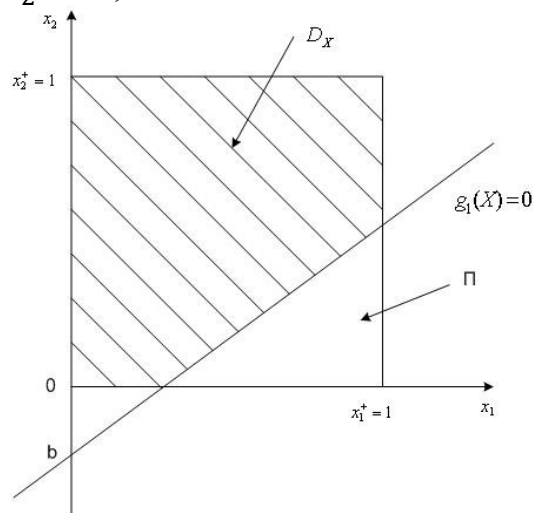


Рис. 2. Расчетная область задачи

Множество D формируется с использованием одной ограничивающей функции $g_1(X) \geq 0$, то есть $D = \{X | g_1(X) \geq 0\}$. Примем, что эта функция линейна и проходит через заданную преподавателем точку плоскости $O(x_1, x_2)$ с координатами $(0, b)$, как показано на Рис. 2.

Таким образом, уравнение этой функции имеет вид $x_2 = ax_1 + b$, $a > 0$. В соответствии с номером варианта заданы значения параметров ограничивающей функции: $a = 1.0$, $b = -0.1$. Общее количество узлов $Z = 256 * 256 = 65536$, количество попавших в область D_x узлов $\zeta = 38971$ (принимается равным 39168, как ближайшим кратным 256).

Параметры моделируемой МВС:

$$N = 2, 4, 8, 16, 32, 64, 128, 256;$$

$$C_f = 10^2, 10^3, 10^4 \text{ с};$$

$$m = 100;$$

$$l = 8;$$

$$t = 10 * 10^{-9} \text{ с};$$

$$t_s = 50 * 10^{-6} \text{ с};$$

$$t_c = \frac{1}{80} * 10^{-6} \text{ с};$$

$$d(N) = 2\sqrt{N} - 1;$$

Полученные значения матожиданий и среднеквадратичных отклонений значений ускорений для целевой функции со сложностями, равномерно распределенными в интервалах $C_f \in [0, C_f^{max}]$, $C_f^{max} = 2 * 10^4, 2 * 10^6$, приведены в Табл. 1, 2. Исходный код программы приведен в Приложении 1.

Табл. 1. Полученные результаты для различных N при $r = 1$

| N | $S, C_f^{max} = 2 \cdot 10^4$ | $S, C_f^{max} = 2 \cdot 10^6$ |
|-----|-------------------------------|-------------------------------|
| 2 | 1.54 | 1.59 |
| 4 | 2.90 | 3.17 |
| 8 | 5.34 | 6.36 |
| 16 | 9.69 | 12.65 |
| 32 | 16.98 | 24.99 |
| 64 | 28.82 | 47.76 |
| 128 | 47.99 | 95.85 |
| 256 | 74.99 | 182.07 |

Табл. 2. Полученные результаты для различных N при $r = 300$

| N | $S, C_f^{max} = 2 \cdot 10^4$ | | $S, C_f^{max} = 2 \cdot 10^6$ | |
|-----|-------------------------------|------------------|-------------------------------|------------------|
| | $M^*[S(N)]$ | $\sigma^*[S(N)]$ | $M^*[S(N)]$ | $\sigma^*[S(N)]$ |
| 2 | 1.532 | 0.006 | 1.582 | 0.006 |
| 4 | 2.890 | 0.013 | 3.179 | 0.014 |
| 8 | 5.341 | 0.025 | 6.324 | 0.032 |
| 16 | 9.661 | 0.042 | 12.538 | 0.070 |
| 32 | 16.931 | 0.095 | 24.726 | 0.173 |
| 64 | 28.882 | 0.178 | 48.297 | 0.428 |
| 128 | 47.593 | 0.291 | 93.869 | 1.002 |
| 256 | 75.202 | 0.439 | 180.611 | 2.307 |

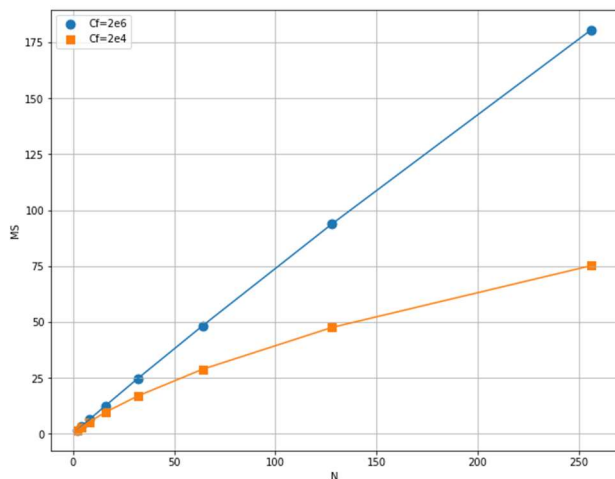


Рис. 3. График $M^*[S(N)]$

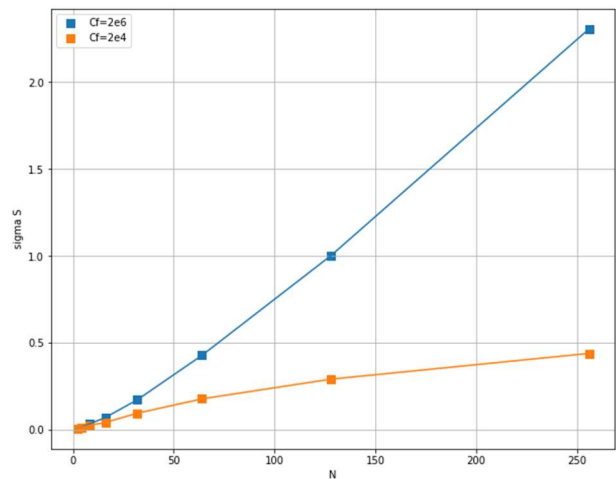


Рис. 4. График $\sigma^*[S(N)]$

Ответы на контрольные вопросы

1. Чем объясняется наблюдаемый характер зависимостей ускорений $S(N)$, оценки математического ожидания ускорения $M^*[S(N)]$ и оценки среднего квадратического отклонения $\sigma^*[S(N)]$?

С ростом числа процессоров уменьшается количество полезных вычислений, совершаемых каждым процессором, при этом издержки на коммуникацию не уменьшаются – как следствие, уменьшается эффективность распараллеливания.

2. Чем объясняется наблюдаемый характер зависимостей ускорений $S(N)$, оценки математического ожидания ускорения $M^*[S(N)]$ и оценки среднего квадратического отклонения $\sigma^*[S(N)]$ от величины C_f^{max} ?

С увеличением величины C_f^{max} уменьшается доля времени, затрачиваемого на коммуникацию между процессами, и увеличивается доля времени, затрачиваемого на вычисление функции в узлах, которое и делится между процессорами – как следствие, растет эффективность распараллеливания.

Исходный код программы

```
N_proc EQU 256
points_N EQU 39168
t_s EQU 50e-6
m_s EQU 100
l_s EQU 8
t_c EQU 0.125e-7
N_gr EQU 2
d_s EQU SQR(N_proc)-1
k_1 EQU 4
s_1 EQU (points_N/N_proc)/k_1
T_ik EQU 2

t EQU 1e-8
uniform_cf_par FUNCTION rn2,c2
0,0.0/1,2e4
uniform_cf_posl FUNCTION rn3,c2
0,0.0/1,2e4

proc_par STORAGE 256
proc_posl STORAGE 1

us VARIABLE p4/p3

tabl_s TABLE v$us,42,0.25,60

generate 1e8,100
split (N_proc - 1)

queue qhost1_par
seize host
depart qhost1_par
advance 5e-6,3e-6
release host

assign 1,s_1
assign 5,k_1

queue qproc_par
enter proc_par
depart qproc_par;

proc3 advance T_ik,1e-8
proc2 advance t,fn$uniform_cf_par

loop 1,proc2
assign 1,s_1
loop 5,proc3
leave proc_par

queue qhost2_par
seize host
depart qhost2_par
advance 5e-6,3e-6
release host
assemble (N_proc)
assign 3,m1

* последовательная обработка
mark 2
split (points_N - 1)

queue qhost1_posl
seize host
depart qhost1_posl
advance 5e-6,3e-6
release host

queue qproc_posl
enter proc_posl
depart qproc_posl
advance t,fn$uniform_cf_posl
leave proc_posl

queue qhost2
seize host
depart qhost2
advance 5e-6,3e-6
release host

assemble points_N
assign 4,mp2

tabulate tabl_s

TERMINATE 1

START 300
```